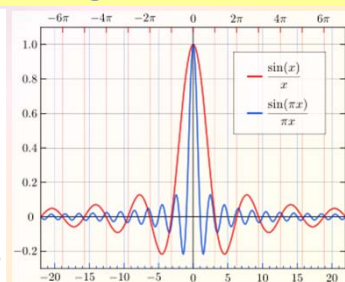
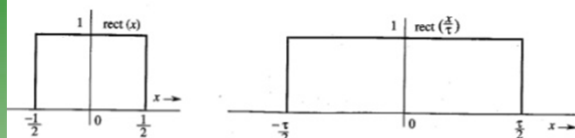


### Funções úteis da óptica: rectângulo, sinc

$$\Pi\left(\frac{x}{\tau}\right) = \text{rect}\left(\frac{x}{\tau}\right) = \begin{cases} 0, & |x| > \frac{\tau}{2} \\ \frac{1}{2}, & |x| = \frac{\tau}{2} \\ 1, & |x| < \frac{\tau}{2} \end{cases}$$



A TF de um rect é a função *Seno Cardinal*, sinc:

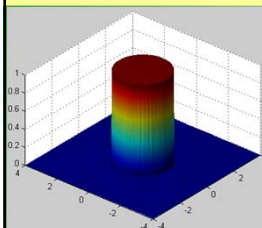
$$\text{sinc}(x) = \frac{\sin(\pi x)}{\pi x}$$

Um rectângulo 2D é um produto de rect:

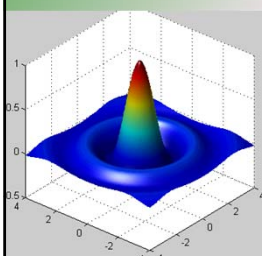
$$\text{rect}(ax) \text{rect}(by) = \frac{1}{|ab|} \text{sinc}(f_x/a) \text{sinc}(f_y/b)$$



### Funções úteis da óptica: cilindro (circ), somb



$$\text{circ}(r) = \begin{cases} 1 & r < 1 \\ \frac{1}{2} & r = 1 \\ 0 & \text{otherwise} \end{cases}$$




A Transformada de Fourier em coordenadas esféricas  $(\rho, \phi)$ , para funções simétricas, é conhecida como transformada de *Fourier-Bessel*. Para a função *circ*:

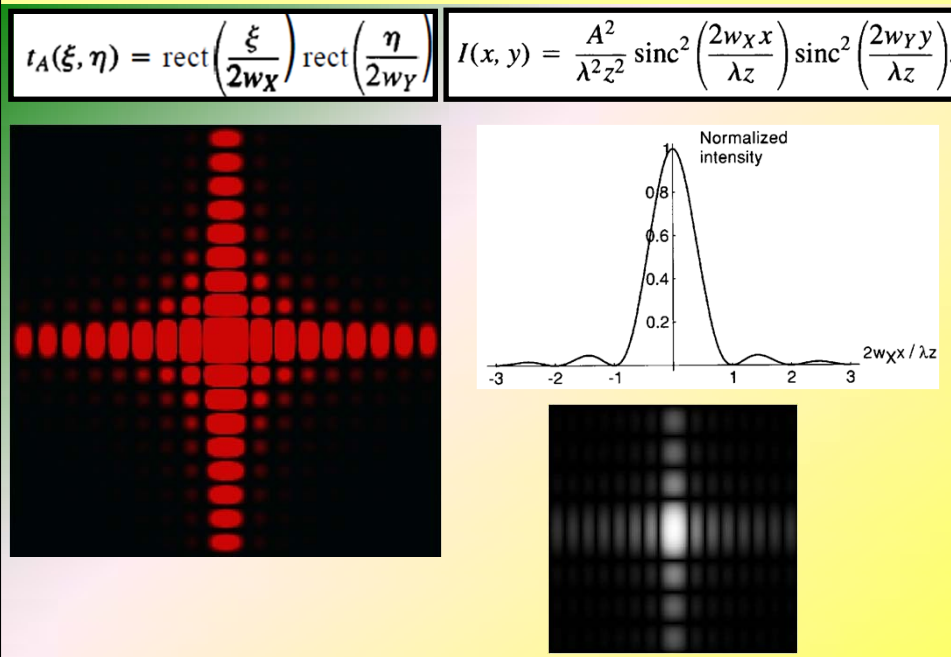
$$\mathcal{B}\{\text{circ}(r)\} = \frac{1}{2\pi\rho^2} \int_0^{2\pi\rho} r' J_0(r') dr' = \frac{J_1(2\pi\rho)}{\rho}$$

A TF de um circ tem a forma de um chapéu mexicano (*Sombrero, somb*)

## Difracção de Fraunhofer: abertura rectangular

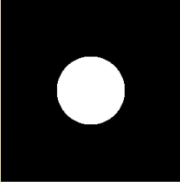
- Abertura, no plano  $z = 0$ :  $t_A(\xi, \eta) = \text{rect}\left(\frac{\xi}{2w_X}\right) \text{rect}\left(\frac{\eta}{2w_Y}\right)$  
- Iluminação: onda plana ao longo de Oz:  $U_i(\xi, \eta) = 1$ .
- Imediatamente depois da abertura:  $U(\xi, \eta) = 1 \cdot t_A(\xi, \eta)$   $A = 4w_X w_Y$
- Campo no infinito: 
$$U(x, y) = \frac{e^{jkz} e^{j\frac{k}{2z}(x^2+y^2)}}{j\lambda z} \mathcal{F}\{U(\xi, \eta)\} \Big|_{\substack{f_x = x/\lambda z \\ f_y = y/\lambda z}}$$
- TF: 
$$\mathcal{F}\{U(\xi, \eta)\} = A \text{sinc}(2w_X f_x) \text{sinc}(2w_Y f_y)$$
- Campo no infinito: 
$$U(x, y) = \frac{e^{jkz} e^{j\frac{k}{2z}(x^2+y^2)}}{j\lambda z} A \text{sinc}\left(\frac{2w_X x}{\lambda z}\right) \text{sinc}\left(\frac{2w_Y y}{\lambda z}\right)$$
- Irradiância no infinito: 
$$I(x, y) = \frac{A^2}{\lambda^2 z^2} \text{sinc}^2\left(\frac{2w_X x}{\lambda z}\right) \text{sinc}^2\left(\frac{2w_Y y}{\lambda z}\right)$$

## Difracção de Fraunhofer: abertura rectangular

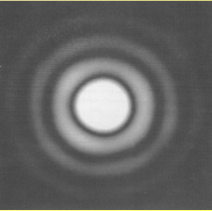


### Difracção de Fraunhofer: abertura circular

- Abertura de raio  $w$  (simetria radial):  $t_A(q) = \text{circ}\left(\frac{q}{w}\right)$
- Iluminação por onda plana:  $U_i(\xi, \eta) = 1$ .  $q = \sqrt{\xi^2 + \eta^2}$
- Campo no infinito:  $U(r) = \frac{e^{jkz}}{j\lambda z} \exp\left(j\frac{kr^2}{2z}\right) \mathcal{B}\{U(q)\} \Big|_{\rho=r/\lambda z}$
- Raio no plano de Fourier:  $\rho = \sqrt{f_x^2 + f_y^2}$
- Campo no infinito:  $U(r) = e^{jkz} e^{j\frac{kr^2}{2z}} \frac{A}{j\lambda z} \left[ 2 \frac{J_1(kwr/z)}{kwr/z} \right]$
- Irradiância no infinito:  $I(r) = \left(\frac{A}{\lambda z}\right)^2 \left[ 2 \frac{J_1(kwr/z)}{kwr/z} \right]^2$



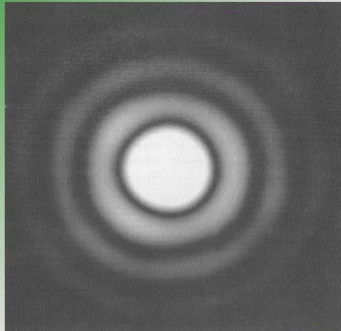
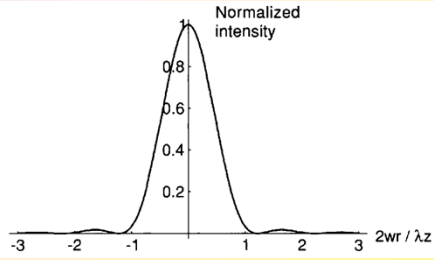
$A = \pi w^2$



### Difracção de Fraunhofer: abertura circular

$t_A(q) = \text{circ}\left(\frac{q}{w}\right)$   
 $A = \pi w^2$

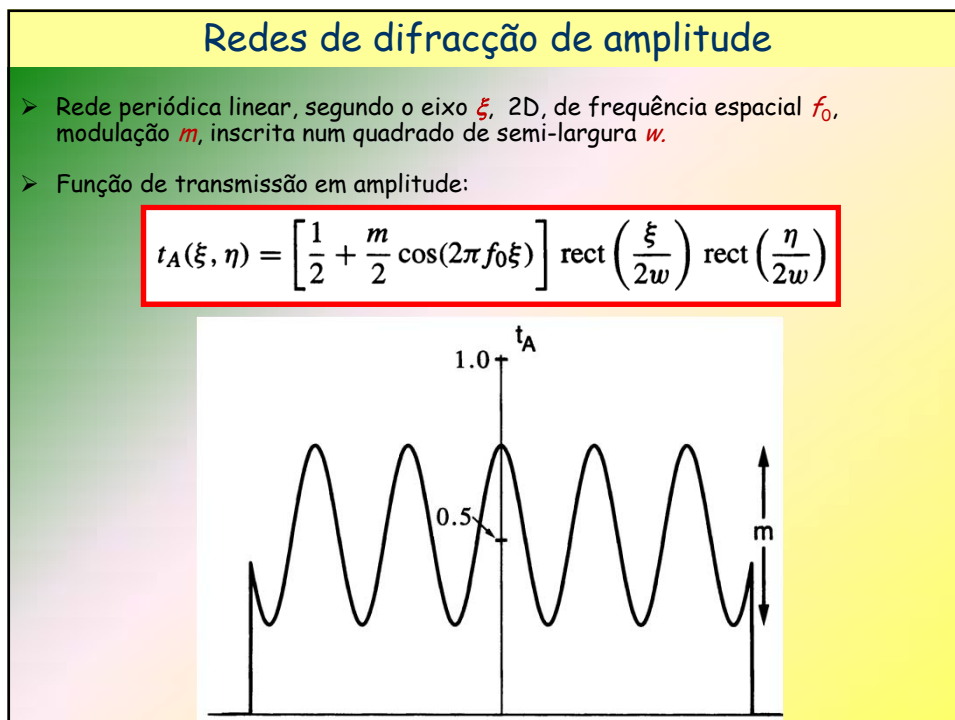
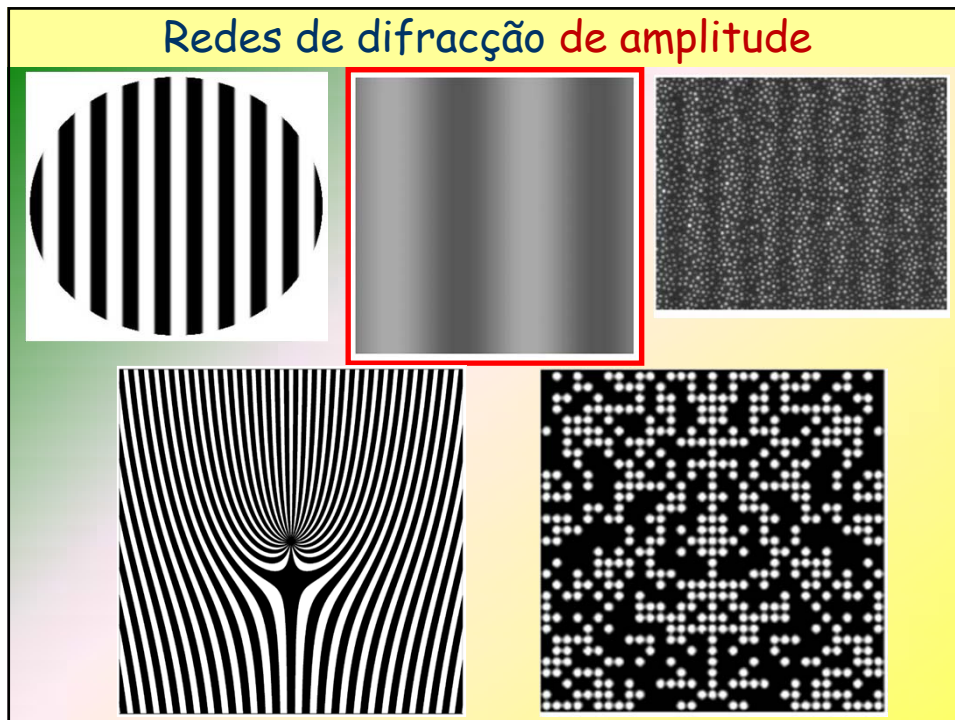
$I(r) = \left(\frac{A}{\lambda z}\right)^2 \left[ 2 \frac{J_1(kwr/z)}{kwr/z} \right]^2$

➤ **Diâmetro do lobo central:**

$$d = 1.22 \frac{\lambda z}{w}$$

$x$	$\left[ 2 \frac{J_1(\pi x)}{\pi x} \right]^2$	max, min
0	1	max
1.220	0	min
1.635	0.0175	max
2.233	0	min
2.679	0.0042	max
3.238	0	min
3.699	0.0016	max



## Redes de difracção de amplitude

**Rede de difracção 1D**  $t(\xi) = (1 + \cos f_0 \xi) \text{rect}(\xi)$

**Transformada de Fourier**

$$T(f_X) = \left[ \delta(f_X) + \frac{1}{2} \delta(f_X - f_0) + \frac{1}{2} \delta(f_X + f_0) \right] * \text{sinc}(f_X)$$

$$T(f_X) = \text{sinc}(f_X) + \frac{1}{2} \text{sinc}(f_X - f_0) + \frac{1}{2} \text{sinc}(f_X + f_0)$$

**Usa-se um valor preciso da frequência espacial**

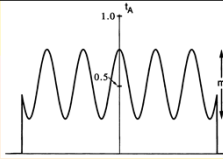
$$f_X = \frac{x}{\lambda z} \rightarrow x \quad (\text{se } \lambda z = 1)$$

**Amplitude complexa**

$$U(x) = \frac{A}{i\lambda z} \left[ \text{sinc}(x) + \frac{1}{2} \text{sinc}(x - f_0) + \frac{1}{2} \text{sinc}(x + f_0) \right]$$

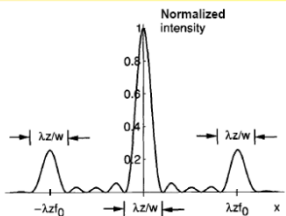
**Irradiância,  $E = |U|^2$  - sem sobreposição dos sinc's**

$$I(x) = \left( \frac{A}{\lambda z} \right)^2 \left[ \text{sinc}^2(x) + \frac{1}{4} \text{sinc}^2(x - f_0) + \frac{1}{4} \text{sinc}^2(x + f_0) \right]$$



$$\cos(2\pi f_0 x) = \frac{e^{+i2\pi f_0 x} + e^{-i2\pi f_0 x}}{2}$$

$$\frac{1}{2} [\delta(f_X - f_0) + \delta(f_X + f_0)]$$

$$g ** \delta = \iint_{-\infty}^{\infty} g(x, y) \delta(\xi - x, \eta - y) dx dy = g(\xi, \eta)$$


## Redes de difracção de amplitude

$$t_A(\xi, \eta) = \left[ \frac{1}{2} + \frac{m}{2} \cos(2\pi f_0 \xi) \right] \text{rect} \left( \frac{\xi}{2w} \right) \text{rect} \left( \frac{\eta}{2w} \right)$$

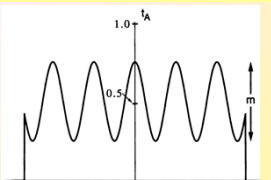
- Iluminação por onda plana:  $U_i(\xi, \eta) = 1$ .
- Campo no plano da rede  $(\xi, \eta)$ , imediatamente depois da rede  $(z=0^+)$
- Teorema da Convolução:  $\mathcal{F}\{gh\} = G(f_X, f_Y) ** H(f_X, f_Y)$
- Transformadas de Fourier dos dois factores:

$$\mathcal{F} \left\{ \frac{1}{2} + \frac{m}{2} \cos(2\pi f_0 \xi) \right\} = \frac{1}{2} \delta(f_X, f_Y) + \frac{m}{4} \delta(f_X + f_0, f_Y) + \frac{m}{4} \delta(f_X - f_0, f_Y)$$

$$\mathcal{F} \left\{ \text{rect} \left( \frac{\xi}{2w} \right) \text{rect} \left( \frac{\eta}{2w} \right) \right\} = A \text{sinc}(2w f_X) \text{sinc}(2w f_Y)$$

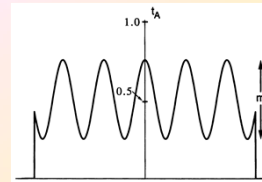
- O  $\delta$ -Dirac é o **elemento neutro** da convolução:

$$g ** \delta = \iint_{-\infty}^{\infty} g(x, y) \delta(x - \xi, y - \eta) dx dy = g(\xi, \eta)$$



## Redes de difracção de amplitude

$$t_A(\xi, \eta) = \left[ \frac{1}{2} + \frac{m}{2} \cos(2\pi f_0 \xi) \right] \text{rect} \left( \frac{\xi}{2w} \right) \text{rect} \left( \frac{\eta}{2w} \right)$$



- Como o  $\delta$ -Dirac é o elemento neutro da convolução, o campo no infinito é:

$$U(x, y) = \frac{A}{j2\lambda z} e^{jkz} e^{j\frac{k}{2z}(x^2+y^2)} \text{sinc} \left( \frac{2wy}{\lambda z} \right) \left\{ \text{sinc} \left( \frac{2wx}{\lambda z} \right) + \frac{m}{2} \text{sinc} \left[ \frac{2w}{\lambda z} (x + f_0 \lambda z) \right] + \frac{m}{2} \text{sinc} \left[ \frac{2w}{\lambda z} (x - f_0 \lambda z) \right] \right\}$$

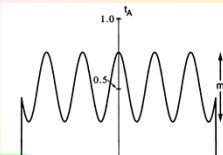
- Para se calcular a Irradiância no infinito,  $I(x, y) \sim |U(x, y)|^2$ . Se:

$$f_0 \gg 1/w \quad (\text{muitos ciclos de variação no interior da abertura})$$

os três sinc's não se sobrepõem. Os produtos cruzados serão desprezáveis...

## Redes de difracção de amplitude

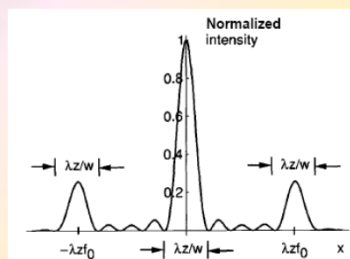
$$t_A(\xi, \eta) = \left[ \frac{1}{2} + \frac{m}{2} \cos(2\pi f_0 \xi) \right] \text{rect} \left( \frac{\xi}{2w} \right) \text{rect} \left( \frac{\eta}{2w} \right)$$



- A Irradiância no infinito é:

$$I(x, y) \approx \left[ \frac{A}{2\lambda z} \right]^2 \text{sinc}^2 \left( \frac{2wy}{\lambda z} \right) \left\{ \text{sinc}^2 \left( \frac{2wx}{\lambda z} \right) + \frac{m^2}{4} \text{sinc}^2 \left[ \frac{2w}{\lambda z} (x + f_0 \lambda z) \right] + \frac{m^2}{4} \text{sinc}^2 \left[ \frac{2w}{\lambda z} (x - f_0 \lambda z) \right] \right\}$$

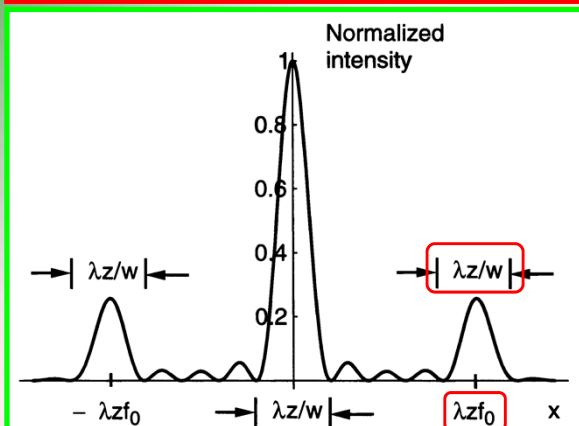
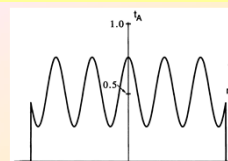
- Perfil segundo x:



### Redes de difracção de amplitude

$$t_A(\xi, \eta) = \left[ \frac{1}{2} + \frac{m}{2} \cos(2\pi f_0 \xi) \right] \text{rect} \left( \frac{\xi}{2w} \right) \text{rect} \left( \frac{\eta}{2w} \right)$$

$$I(x, y) \approx \left[ \frac{A}{2\lambda z} \right]^2 \text{sinc}^2 \left( \frac{2wy}{\lambda z} \right) \left\{ \text{sinc}^2 \left( \frac{2wx}{\lambda z} \right) + \frac{m^2}{4} \text{sinc}^2 \left[ \frac{2w}{\lambda z} (x + f_0 \lambda z) \right] + \frac{m^2}{4} \text{sinc}^2 \left[ \frac{2w}{\lambda z} (x - f_0 \lambda z) \right] \right\}$$



Ordens de difracção

Separação entre ordens

Divisão do fluxo luminoso

Sensibilidade a  $\lambda \rightarrow$   
**Espectrometria**  
 $\rightarrow \dots$

### Redes de difracção de perfil rectangular (1D)

Rede  $t(\xi) = \left[ \text{rect} \frac{\xi}{a} * \sum_{n=-\infty}^{\infty} \delta(\xi - nb) \right] \text{rect} \frac{\xi}{c} = \left[ \text{rect} \frac{\xi}{a} * \frac{1}{b} \text{comb} \frac{\xi}{b} \right] \text{rect} \frac{\xi}{c}$

Transformada de Fourier

$$T(f_X) = [a \text{sinc}(af_X) \text{comb}(bf_X)] * c \text{sinc}(cf_X)$$

$$f(x)\delta(x-y) = f(y)\delta(x-y)$$

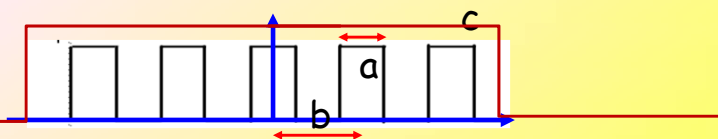
$$T(f_X) = \left[ a \text{sinc}(af_X) \frac{1}{b} \sum_{n=-\infty}^{\infty} \delta \left( f_X - \frac{n}{b} \right) \right] * c \text{sinc}(cf_X)$$

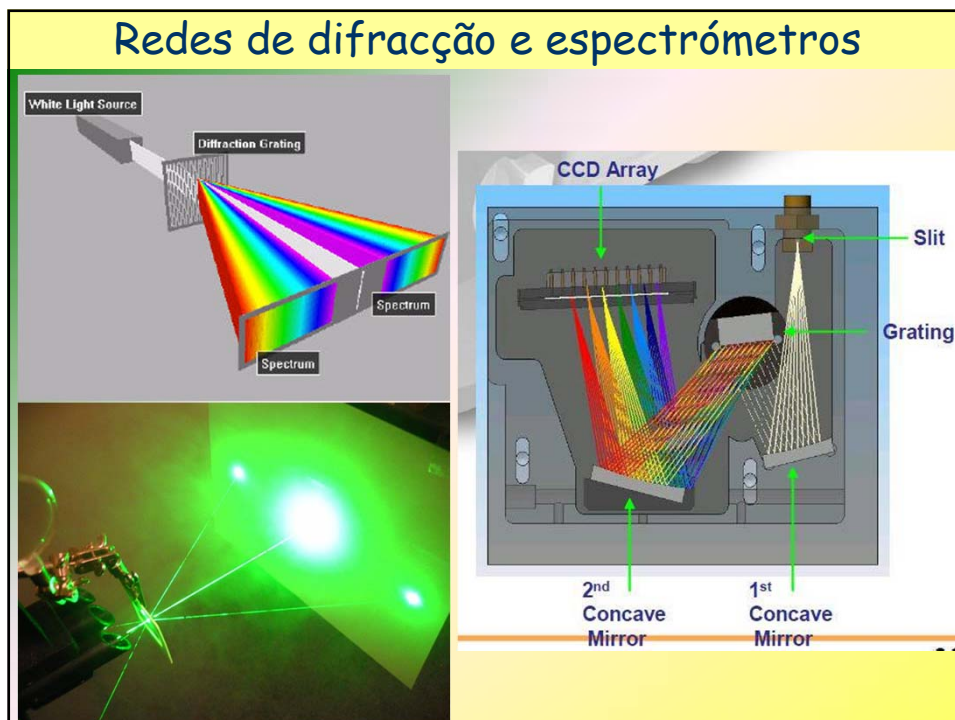
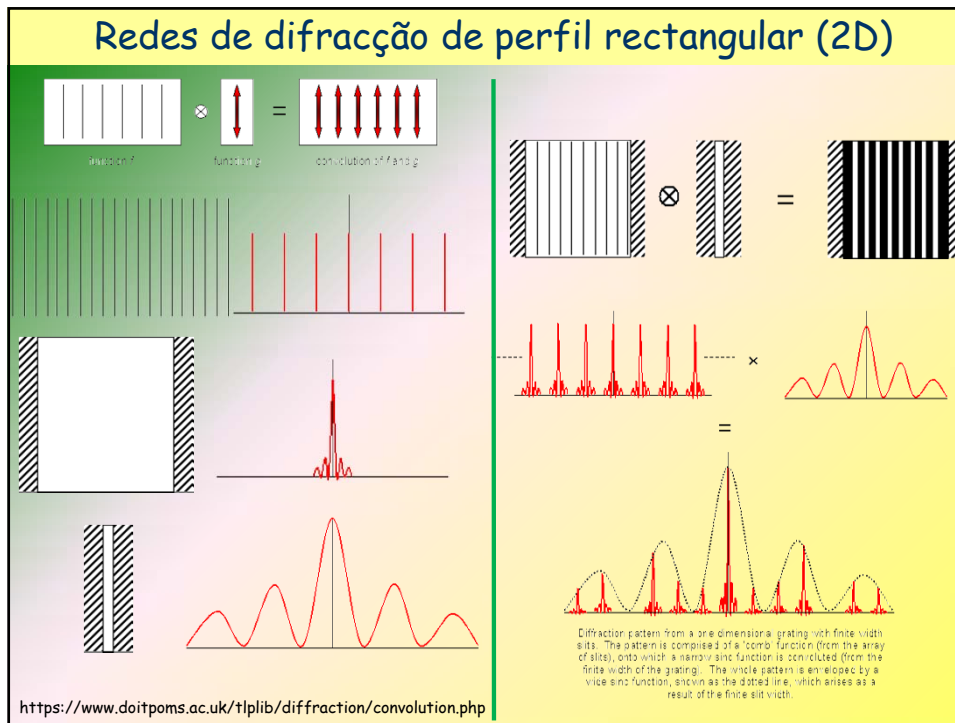
$$\delta \left( \frac{x-y}{b} \right) = b \delta(x-y)$$

$$T(f_X) = \left[ a \sum_{n=-\infty}^{\infty} \text{sinc} \left( \frac{a}{b} n \right) \delta \left( f_X - \frac{n}{b} \right) \right] * c \text{sinc}(cf_X)$$

$$T(f_X) = a \sum_{n=-\infty}^{\infty} \text{sinc} \left( \frac{a}{b} n \right) \delta \left( f_X - \frac{n}{b} \right) * c \text{sinc}(cf_X)$$

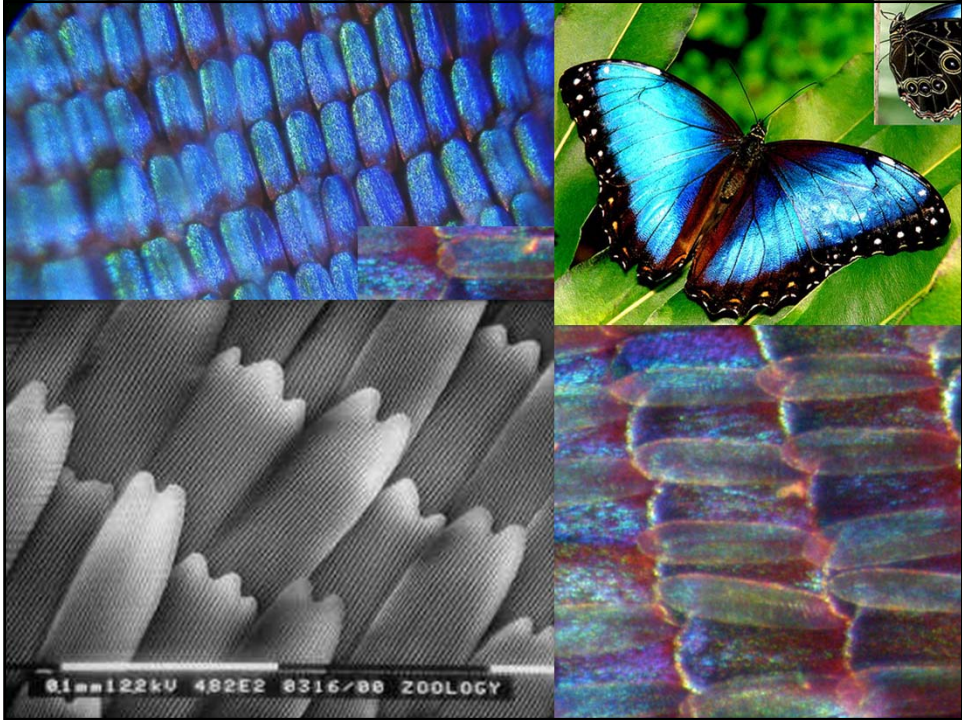
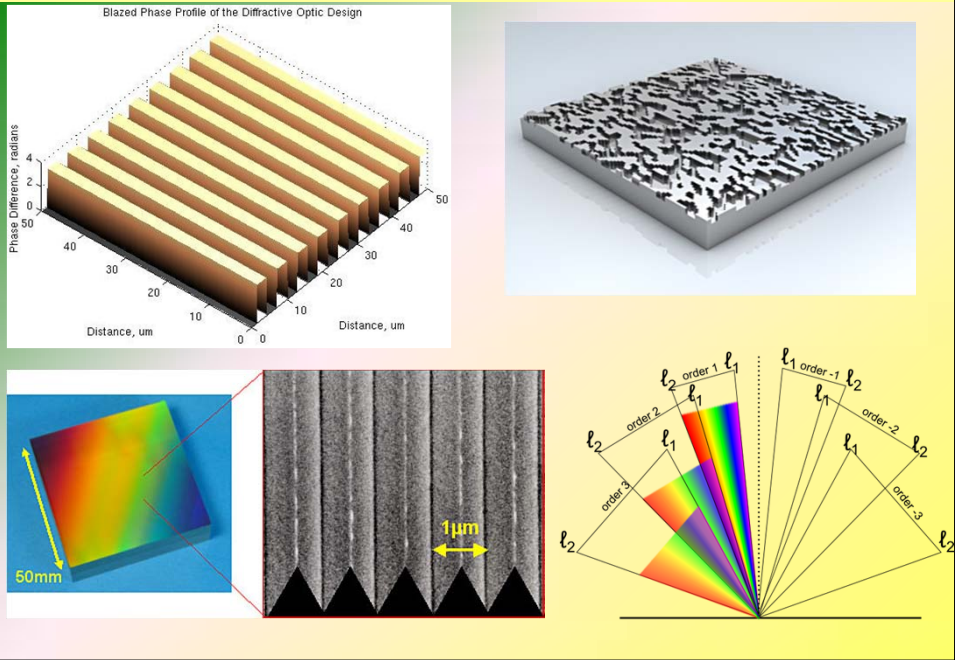
$$T(f_X) = ac \sum_{n=-\infty}^{\infty} \text{sinc} \left( \frac{a}{b} n \right) \text{sinc} \left[ c \left( f_X - \frac{n}{b} \right) \right]$$

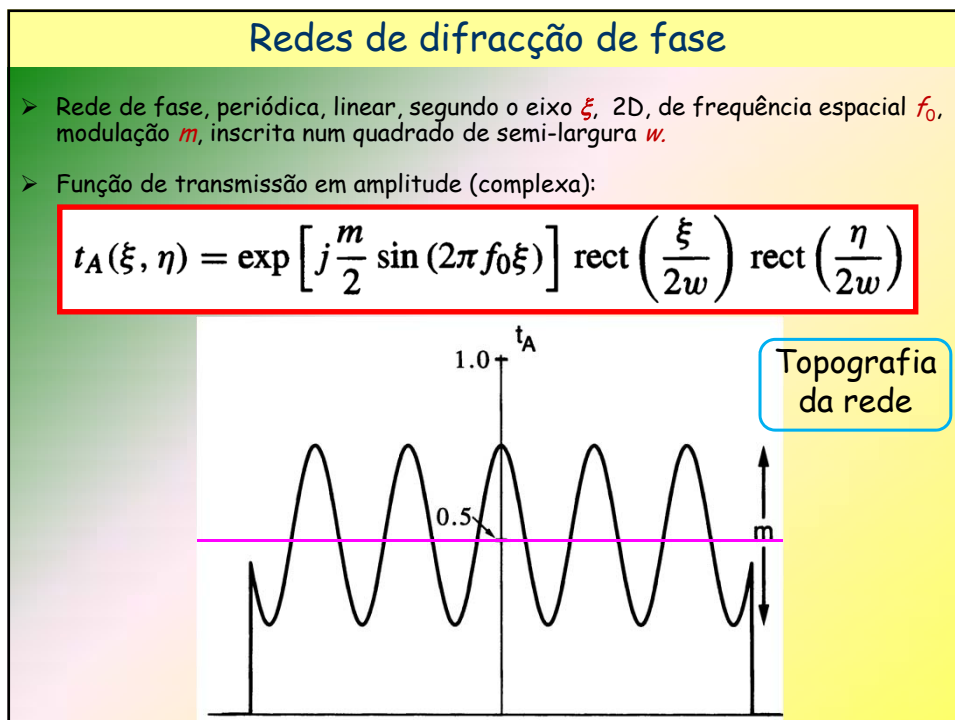
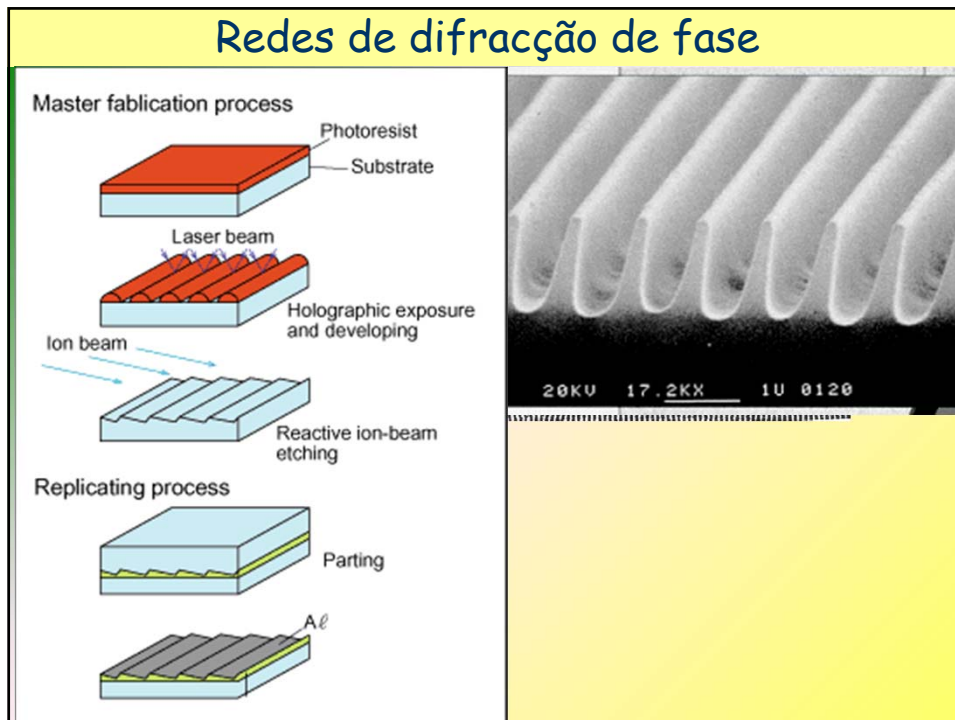






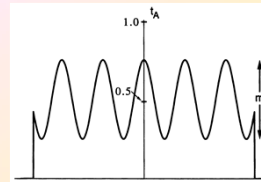
# Outras redes de difracção de fase





## Redes de difracção de fase

$$t_A(\xi, \eta) = \exp \left[ j \frac{m}{2} \sin(2\pi f_0 \xi) \right] \text{rect} \left( \frac{\xi}{2w} \right) \text{rect} \left( \frac{\eta}{2w} \right)$$



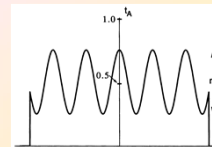
- Iluminação por onda plana:  $U_i(\xi, \eta) = 1$ .
- Campo no plano da rede  $(\xi, \eta)$ , imediatamente depois da rede ( $z=0^+$ )
- Teorema da Convolução:  $\mathcal{F}\{gh\} = G(f_X, f_Y) ** H(f_X, f_Y)$
- Reformulação conveniente:  $\exp \left[ j \frac{m}{2} \sin(2\pi f_0 \xi) \right] = \sum_{q=-\infty}^{\infty} J_q \left( \frac{m}{2} \right) \exp(j2\pi q f_0 \xi)$
- Transformadas de Fourier dos dois factores:

$$\mathcal{F} \left\{ \text{rect} \left( \frac{\xi}{2w} \right) \text{rect} \left( \frac{\eta}{2w} \right) \right\} = A \text{sinc}(2w f_X) \text{sinc}(2w f_Y)$$

$$\mathcal{F} \left\{ \exp \left[ j \frac{m}{2} \sin(2\pi f_0 \xi) \right] \right\} = \sum_{q=-\infty}^{\infty} J_q \left( \frac{m}{2} \right) \delta(f_X - q f_0, f_Y)$$

## Redes de difracção de fase

$$t_A(\xi, \eta) = \exp \left[ j \frac{m}{2} \sin(2\pi f_0 \xi) \right] \text{rect} \left( \frac{\xi}{2w} \right) \text{rect} \left( \frac{\eta}{2w} \right)$$



- Combinando:

$$\mathcal{F}\{U(\xi, \eta)\} = \mathcal{F}\{t_A(\xi, \eta)\}$$

$$= [A \text{sinc}(2w f_X) \text{sinc}(2w f_Y)] \otimes \left[ \sum_{q=-\infty}^{\infty} J_q \left( \frac{m}{2} \right) \delta(f_X - q f_0, f_Y) \right]$$

$$= \sum_{q=-\infty}^{\infty} A J_q \left( \frac{m}{2} \right) \text{sinc} [2w(f_X - q f_0)] \text{sinc}(2w f_Y).$$

$$U(x, y) = \frac{A}{j\lambda z} e^{jkz} e^{j\frac{k}{2z}(x^2+y^2)} \sum_{q=-\infty}^{\infty} J_q \left( \frac{m}{2} \right) \text{sinc} \left[ \frac{2w}{\lambda z} (x - q f_0 \lambda z) \right] \text{sinc} \left( \frac{2wy}{\lambda z} \right)$$

- Para se calcular a Irradiância no infinito,  $\mathcal{I}(x, y) \sim |U(x, y)|^2$ . assume-se novamente que:

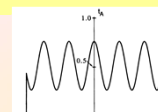
$$f_0 \gg 1/w \quad (\text{muitos ciclos de variação no interior da abertura})$$

e os inúmeros **sinc**'s não se sobrepõem. Os produtos cruzados são desprezáveis...

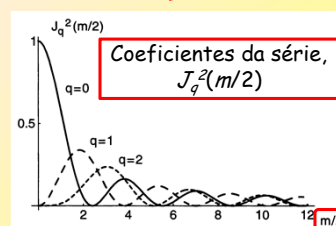
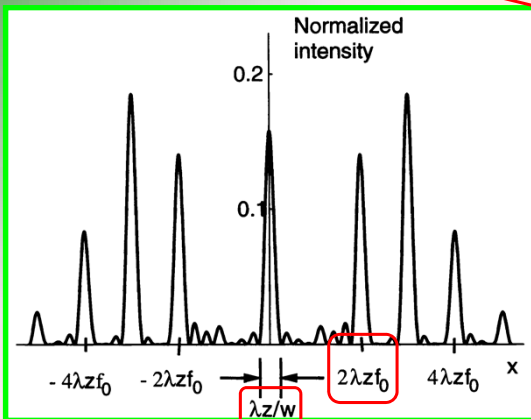
- Logo, a Irradiância será:

### Redes de difracção de fase

$$t_A(\xi, \eta) = \left[ \frac{1}{2} + \frac{m}{2} \cos(2\pi f_0 \xi) \right] \text{rect} \left( \frac{\xi}{2w} \right) \text{rect} \left( \frac{\eta}{2w} \right)$$



$$I(x, y) \approx \left( \frac{A}{\lambda z} \right)^2 \sum_{q=-\infty}^{\infty} J_q^2 \left( \frac{m}{2} \right) \text{sinc}^2 \left[ \frac{2w}{\lambda z} (x - q f_0 \lambda z) \right] \text{sinc}^2 \left( \frac{2wy}{\lambda z} \right)$$



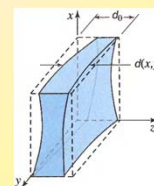
### Função de Transmissão em Amplitude (FTA)

1. FONTE GERA UMA ONDA QUE SE PROPAGA, EM **ZZ**, ATÉ AO **OBJECTO**, QUE SE ENCONTRA EM **Z=0**:  $U^-(x,y) = |U^-| \exp(i\varphi^-)$
2. O OBJECTO ALTERA A ONDA INCIDENTE (**Z=0⁻**), GERANDO-SE UMA ONDA EMERGENTE (**Z=0⁺**),  $U^+(x,y) = |U^+| \exp(i\varphi^+)$
3. A ONDA EMERGENTE CONTINUA A PROPAGAR-SE, DE ACORDO COM O PRINCÍPIO DE H-F, ALTERADA COM AS CARACTERÍSTICAS DO OBJECTO.

Como se descreve o objecto, de forma a calcular a onda emergente?

Considera-se o objecto inscrito num paralelepípedo, com faces planas.

Define-se a **Função de Transmissão em Amplitude**,  $t(x,y)$ , [FTA] tal que:



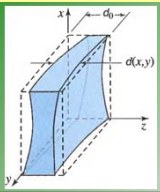
$$U^+(x,y) = t(x,y) U^-(x,y)$$

$$|U^+(x,y)| = |t(x,y)| |U^-(x,y)| \quad e \quad \varphi^+(x,y) = \varphi_0(x,y) + \varphi^-(x,y)$$

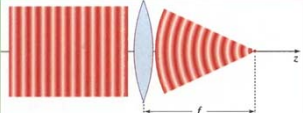
A FTA pode ser de:

Fase	$ t  = t_0$	Apenas varia a fase de $U^-$
Amplitude	$\phi = \phi_0$	Apenas varia o módulo de $U^-$
Híbrida	$t(x,y) =  t(x,y)  e^{i\phi(x,y)}$	

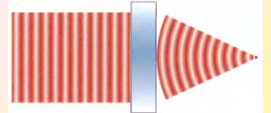
### Exemplos de FTA's



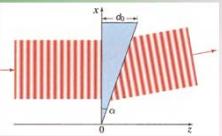
$t(x,y) = h_0 \exp[-i(n-1)k_0 d(x,y)]$




$t(x,y) \approx h_0 \exp\left[-jk_0 \frac{x^2 + y^2}{2f}\right]$




$t(x,y) = h_0 \exp[-i n(x,y) k_0 d_0]$



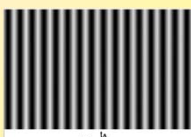
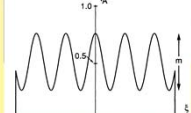
$t(x,y) = h_0 \exp[-j(n-1)k_0 \alpha x]$

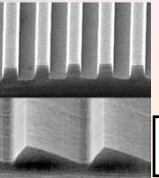


$t_A(\xi, \eta) = \text{rect}\left(\frac{\xi}{2w_x}\right) \text{rect}\left(\frac{\eta}{2w_y}\right)$

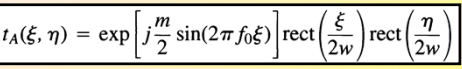


$t_A(q) = \text{circ}\left(\frac{q}{w}\right)$



$t_A(\xi, \eta) = \left[\frac{1}{2} + \frac{m}{2} \cos(2\pi f_0 \xi)\right] \text{rect}\left(\frac{\xi}{2w}\right) \text{rect}\left(\frac{\eta}{2w}\right)$



$t_A(\xi, \eta) = \exp\left[j\frac{m}{2} \sin(2\pi f_0 \xi)\right] \text{rect}\left(\frac{\xi}{2w}\right) \text{rect}\left(\frac{\eta}{2w}\right)$

### Lente delgada

Função de transmissão em amplitude (FTA) geral

$t(x,y) = h_0 \exp[-i(n-1)k_0 d(x,y)]$

Espessura de uma lente *plano-convexa* é

$d(x,y) = d_0 - \{R - [R^2 - (x^2 + y^2)]^{1/2}\}$

Aproximação paraxial (plano-convexa)  $x^2 + y^2 \ll R^2$  e espessura

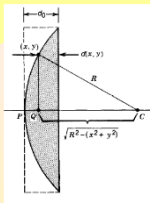
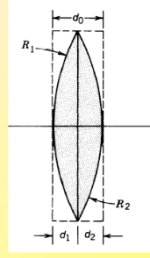
$[R^2 - (x^2 + y^2)]^{1/2} \approx R \left(1 - \frac{x^2 + y^2}{2R^2}\right) \approx R - \frac{x^2 + y^2}{2R}$

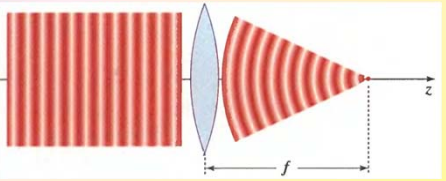
$d(x,y) \approx d_0 - \frac{x^2 + y^2}{2R}$

FTA (lente completa)  $t(x,y) = h_0 \exp\left[-ik \frac{x^2 + y^2}{2f}\right]$

Com  $\frac{1}{f} = (n-1)\left(\frac{1}{R_1} - \frac{1}{R_2}\right)$  (distância focal de uma lente delgada)

Uma lente positiva de distância focal  $f$  transforma ondas planas em ondas paraboloidais convergentes para o foco.



## Resolução: critério de Rayleigh

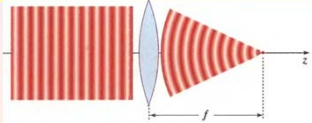
**A lente (de raio  $\rho$ ) difracta a onda incidente:**

- Iluminação por onda plana:  $U_i(\xi, \eta) = 1$ .
- FTA da lente:  $t(\xi, \eta) = h_0 e^{-ik \frac{\xi^2 + \eta^2}{2f}} \cdot \text{circ}\left(\frac{\sqrt{\xi^2 + \eta^2}}{\rho}\right)$
- Campo imediatamente depois da lente ( $z=0^+$ ):  $U(\xi, \eta) = U_i(\xi, \eta) \times t(\xi, \eta)$
- Propagação para o plano focal da lente ( $z=f$ ) (condições de Fresnel):

$$U(x, y) = \frac{e^{jkz}}{j\lambda z} e^{j\frac{k}{2z}(x^2+y^2)} \iint_{-\infty}^{\infty} \left\{ U(\xi, \eta) e^{j\frac{k}{2z}(\xi^2+\eta^2)} \right\} e^{-j\frac{kx\xi+y\eta}{z}} d\xi d\eta$$

$$U(x, y) = \frac{e^{ikz} e^{-i\frac{k}{2f}(x^2+y^2)}}{i\lambda f} \mathcal{F}\{\text{circ}\}_{f_x=\frac{x}{\lambda f}, f_y=\frac{y}{\lambda f}}$$

- Situação normal de formação de imagem num **telescópio!**
- No plano focal, a **irradiância** é descrita pelo quadrado do módulo da TF da pupila:
  - Uma estrela  $\rightarrow$  um padrão de Airy
  - Duas estrelas angularmente próximas: dois padrões de Airy, porventura sobrepostos.
- Duas estrelas são resolvidas se a separação entre os dois padrões de Airy satisfizer o **critério de Rayleigh!**

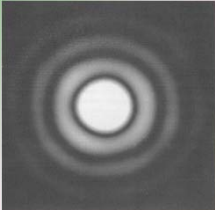
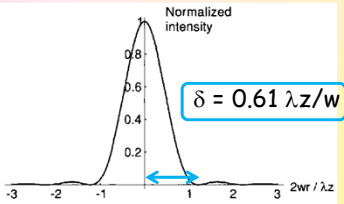


## Resolução: critério de Rayleigh

$$I(r) = \left(\frac{A}{\lambda z}\right)^2 \left[ 2 \frac{J_1(kwr/z)}{kwr/z} \right]^2$$

Raio  $w$ , Diâmetro  $D = 2w$   
 Diâmetro do lobo central:

$$d = 1.22 \frac{\lambda z}{w}$$

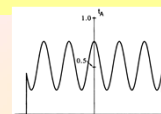



- **Critério de resolução de Rayleigh:** duas fontes incoerentes podem ser resolvidas por um sistema limitado por difracção e com uma pupila circular quando o centro do padrão de irradiância de Airy de uma coincidir com o primeiro zero do padrão de Airy da outra.
- O 1º zero de  $J_1$  ocorre para  $\pi x = 1.22$ .
- A separação mínima radial no plano imagem ( $z=f$ ) é metade da largura do lobo central ( $d$ ) do padrão de Airy:
 
$$\delta = 0.61 \lambda f/w \rightarrow 1.22 \lambda f/D$$
- A separação angular (no espaço objecto) será
 
$$\theta = 1.22 \lambda/D \text{ (rad)}$$

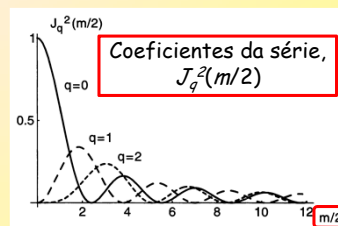
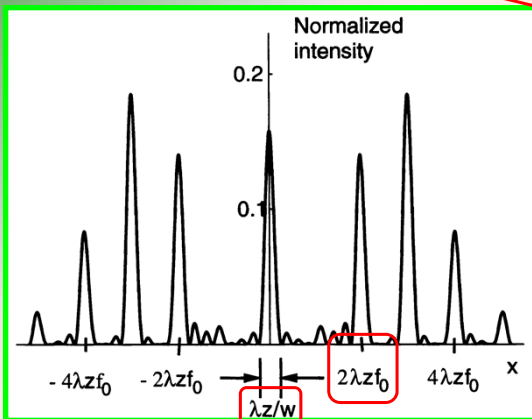
$x$	$\left[ 2 \frac{J_1(\pi x)}{\pi x} \right]^2$	max, min
0	1	max
1.220	0	min
1.635	0.0175	max
2.233	0	min
2.679	0.0042	max
3.238	0	min
3.699	0.0016	max

### Redes de difracção de fase

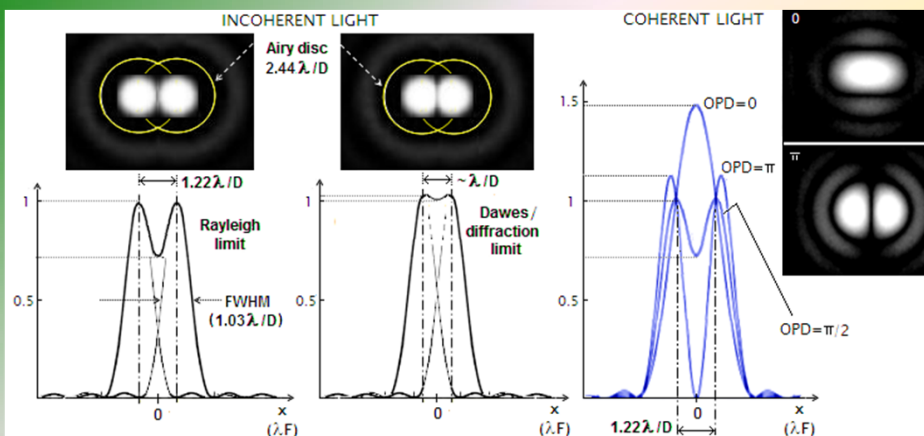
$$t_A(\xi, \eta) = \left[ \frac{1}{2} + \frac{m}{2} \cos(2\pi f_0 \xi) \right] \text{rect}\left(\frac{\xi}{2w}\right) \text{rect}\left(\frac{\eta}{2w}\right)$$



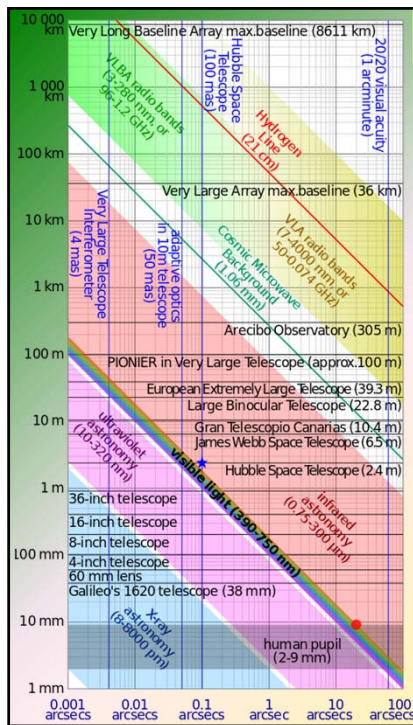
$$I(x, y) \approx \left(\frac{A}{\lambda z}\right)^2 \sum_{q=-\infty}^{\infty} J_q^2\left(\frac{m}{2}\right) \text{sinc}^2\left[\frac{2w}{\lambda z}(x - qf_0\lambda z)\right] \text{sinc}^2\left(\frac{2wy}{\lambda z}\right)$$



### Resolução: casos incoerente e coerente



## Resolução: critério de Rayleigh



Aperture diameter vs angular resolution at diffraction limit, for various  $\lambda$ .

Examples:

- \* - Hubble Space Telescope is almost diffraction-limited in the visible, at **0.1"**
- - human eye should have a resolving power of **20"** in theory (**60"**, in practice).

